

Ю. Г. Щепкін, В. І. Слісенко, Н. І. Мазіна*, Т. А. Костюк

Інститут ядерних досліджень НАН України, Київ

*Відповідальний автор: nadin_v@kinr.kiev.ua

**ДОСЛІДЖЕННЯ ВЗАЄМОДІЇ НЕЙТРОНІВ ІЗ РЕЧОВИНОЮ
ПРИ ВИСОКИХ НЕЙТРОННИХ ПОТОКАХ.****ЧАСТИНА III. ДОСЛІДЖЕННЯ ЧАСОВОЇ ЗАЛЕЖНОСТІ ПРОПУСКАННЯ НЕЙТРОНІВ**

Проведено вимірювання пропускання нейtronів через два зразки ^{235}U , кадмію, що знаходяться одночасно на нейtronному пучку, при різній послідовності їхнього розташування для різного часу експозиції зразків на пучку. Підтверджена раніше спостережувана відмінність зазначених пропускань – асиметрія пропускання. Мета вимірювань – визначення часу життя метастабільних станів, уведених для пояснення спостережуваної асиметрії пропускання. На основі результатів вимірювань асиметрії пропускання встановлено, що він менший 5 с.

Ключові слова: нейtron, переріз, час життя, густина потоку нейtronів, асиметрія пропускання, зведенa имовірність переходу, метастабільний стан.

Дослідження взаємодії нейtronів із різними речовинами при високих значеннях густини потоку N_0 (кількість нейtronів, щопадають за одиницю часу на одиницю поверхні зразка), наведене в роботах [1 - 3], показало наявність залежності нейtronного перерізу ^{235}U від N_0 . Це вдалося досягти завдяки високим значенням густини теплового потоку нейtronів реактора і перерізу поглинання урану, кількість актів поглинання нейtronів в урані досягає значної величини і дорівнює $\sim 3 \cdot 10^9$ за 1 с в 1 см³. Наявність указаної залежності була встановлена по відмінності пропускання нейtronів через два зразки ^{235}U , кадмію при зміні послідовності розташування зразків – асиметрія пропускання (АП). На основі аналізу проведених вимірювань для пояснення виявленої залежності було припущене, що в результаті взаємодії нейtronів із досліджуваним зразком ^{235}U утворені уламки поділу у цьому ж зразку збуджують метастабільний стан з аномально великими значеннями характеристик цього стану – нейtronним перерізом і часом життя. При такому передбаченні стає зрозумілою спостережувана залежність нейtronного перерізу ^{235}U від N_0 – нейtron спочатку викликає акт поділу, що призводить до утворення збудженого стану, а наступний нейtron взаємодіє з цим станом. Тобто, до звичайних взаємодій нейtronів із початковими ядрами ^{235}U , інтенсивність яких пропорційна густині потоку нейtronів, додається взаємодії, інтенсивність яких пропорційна квадрату густини потоку нейtronів, що і призводить у підсумку до залежності перерізу від N_0 . Такий додаток стає помітним завдяки високим значенням N_0 та характеристикам метастабільного стану.

Враховуючи можливий вплив побічних ефектів на результат вимірювань, у роботах [1 - 3] проведено дослідження з широким набором двох різних речовин, з варіацією N_0 , спектра падаючого потоку нейtronів, температури зразка ^{235}U . АП спостерігається тільки для двох зразків, що включають ^{235}U , тобто спостережуваний ефект пов'язаний з актом поділу, але не з процесами поглинання чи розсіяння нейtronів. Аналіз можливих механізмів прояву поділу урану на виникнення АП привів до припущення про збудження ^{235}U метастабільного стану.

Особливості методики

Класичні методи вимірювання перерізів дозволяють вимірювати переріз не краще, ніж із процентною точністю. Так як спостережувана зміна нейtronного перерізу незначна (відносна зміна $\sim 2,6 \cdot 10^{-4}$), у попередніх роботах [1 - 3] була розроблена методика виявлення малої зміни перерізу, в якій вимірюються інтенсивності $N_{1,2}$ і $N_{2,1}$ потоку нейtronів, що пройшли через зразки двох різних речовин, які знаходяться на пучку нейtronів. У першому вимірюванні $N_{1,2}$ нейtronи спочатку проходять зразок 1, потім 2, а у другому вимірюванні $N_{2,1}$ нейtronи спочатку проходять зразок 2, потім 1. При відсутності залежності від N_0 інтенсивності $N_{1,2}$ і $N_{2,1}$ рівні, у випадку ж залежності перерізу від щільності взаємодії $N_{1,2} \neq N_{2,1}$ і виникає АП [1 - 3], яка визначається як

$$q = (N_{1,2} - N_{2,1}) / 0,5(N_{1,2} + N_{2,1}). \quad (1)$$

© Ю. Г. Щепкін, В. І. Слісенко, Н. І. Мазіна, Т. А. Костюк, 2017

Можливість визначення зміни перерізу у вказаних вище масштабах таким методом обумовлена тим, що вимірювання носить відносний характер, при вимірюванні інтенсивностей $N_{1,2}$ і $N_{2,1}$ практично не змінюються умови вимірювань – лічильне завантаження детектора, фон.

Висока часова стабільність вимірювань досягається за рахунок відносно невеликих проміжків експозиції зразків у послідовностях 1, 2 та 2, 1, використання високостабільного джерела нейtronів – реактора – і реєстрацію нейtronів (вимірювання інтенсивностей $N_{1,2}$ та $N_{2,1}$) 4π-сцинтиляційним багатосекційним детектором [1 - 3]. Реєстрація нейtronів за допомогою 4π-детектора великого об'єму по реакції поглинання нейtronів у кадмії забезпечує велике енерговиділення в об'ємі детектора (енергія каскаду гамма-променів 9,1 MeV, множинність $v_\gamma \sim 3-7$). Це дає змогу встановити режим реєстрації з виділенням актів поглинання нейtronів із кратністю збігів $k \geq 3$ при рівні дискримінації E_c з енерговиділенням у кожній секції детектора всього $E_c \approx 35$ keV. При великій енергії, яка виділяється

ся в детекторі (завдяки великим значенням енергії гамма-каскаду і об'єму детектора), і низькому значенню E_c система має високу стабільність реєстрації нейtronів. Зміна значення E_c на 10 % приводить до зміни реєстрації актів поглинання нейtronів усього на 0,06 %. Разом з тим система має високу ефективність реєстрації ε_n акту поглинання нейтрона і низький рівень фону. Значення ε_n дорівнює 66 %, рівень фону лежить у межах 0,8 - 1,5 % завдяки виділенню актів поглинання з $k \geq 3$.

Способ вимірювання

Для визначення часу T життя метастабільного стану ^{235}U в даній роботі проведено вимірювання АП при різних значеннях часу експозиції T_e зразків на пучку. Для отримання величини T із таких вимірювань необхідно встановити зв'язок АП з часом T життя, часом T_e експозиції зразків на пучку, часовими інтервалами T_n і T_l між послідовностями 1, 2 і 2, 1 зразків на пучку в межах одного циклу і між найближчими циклами відповідно (рис. 1).

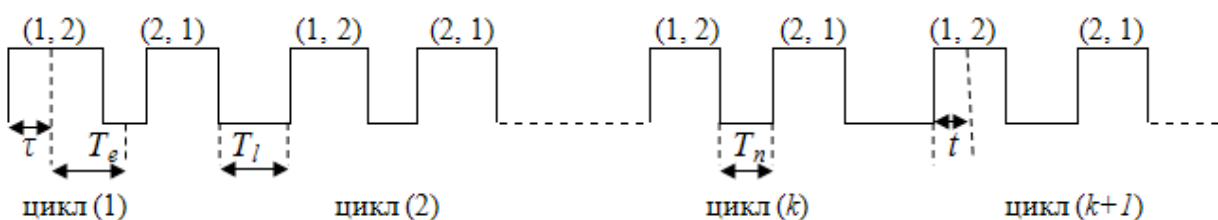


Рис. 1. Часова діаграма послідовностей зразків і циклів вимірювань.
 T_n і T_l – часові інтервали між найближчими послідовностями та циклами відповідно.

Отримаємо загальне співвідношення для АП, яке зв'язує величину q із вказаними вище часовими характеристиками та характеристиками метастабільного стану. Візьмемо цикл 1 та довільний цикл $(k+1)$ і розглянемо всі можливі комбінації утворення збуджених станів та взаємодії нейtronів з ними. Усі взаємодії розглядаємо у зразку 1 у прошарку товщиною dn після проходження нейtronами товщини зразка n . Кількість взаємодій $dN_\Sigma^{(1)}$ протягом часу $d\tau$ у момент часу τ у послідовності 1, 2 циклу 1 є

$$dN_\Sigma^{(1)} = (N_\Sigma(n) / T_e) dn \sigma d\tau. \quad (2)$$

$N_\Sigma(n)$ – потік нейtronів на товщину зразка n за час T_e у послідовності 1, 2. У вищепеределений формулі й далі за текстом потік нейtronів, що падає на зразок, кількість взаємодій нейtronів із зразком, товщина зразка і прошарку, які визначають кількість речовини зразка, відносяться до

одиничної поверхні зразка. Кількість утворених збуджених станів у результаті цих взаємодій дорівнює

$$dN_\Sigma^{(2)} = dN_\Sigma^{(1)} \Psi, \quad (3)$$

де Ψ – вихід збуджених станів. Із цієї кількості до моменту часу t (від початку послідовності 1, 2 циклу $(k+1)$) доживе $dN_\Sigma^{(3)}$ збуджених станів:

$$dN_\Sigma^{(3)} = dN_\Sigma^{(2)} \exp(-(a_1 - \tau + t) \ln 2 / T), \quad (4)$$

де a_1 – часовий інтервал між початками однотипних послідовностей циклів 1 і $(k+1)$:

$$a_1 = (2T_e + T_n + T_l) \cdot k. \quad (5)$$

Від усіх взаємодій у послідовності 1, 2 циклу 1 (тобто за час T_e) доживе до моменту t послідовності 1, 2 циклу $(k+1)$ така кількість збуджених станів:

$$N_{\Sigma}^{(4)} = \int_{\tau=0}^{T_e} dN_{\Sigma}^{(3)} = \int_{\tau=0}^{T_e} [(N_{\Sigma}(n) / T_e) \sigma \psi \exp(-\frac{(a_1 - \tau + t) \ln 2}{T} dn] d\tau. \quad (6)$$

Кількість взаємодій нейtronів з цими збудженими станами протягом часу dt дорівнює

$$dN_{\Sigma}^{(5)} = (N_{\Sigma}(n) / T_e) dN_{\Sigma}^{(4)} \sigma' dt, \quad (7)$$

де σ' – переріз збуджених станів. Кількість $dN_{\Sigma}^{(a1)}$ взаємодій нейtronів за час T_e послідовності 1, 2 циклу $(k+1)$ із збудженими станами, утвореними протягом послідовності 1, 2 циклу $(k+1)$, отримаємо, інтегруючи по часу величину $dN_{\Sigma}^{(5)}$ і підставляючи $dN_{\Sigma}^{(1)}$, $dN_{\Sigma}^{(2)}$, $dN_{\Sigma}^{(3)}$ та $dN_{\Sigma}^{(4)}$:

$$\begin{aligned} dN_{\Sigma}^{(a1)} &= \int_0^{T_e} dN_{\Sigma}^{(5)} = \\ &= [N_{\Sigma}(n)]^2 P(\sigma / T_e [\exp(-a_1 \ln 2 / T)]) dn, \end{aligned} \quad (8)$$

де

$$P = (1 / T_e) \sigma' \psi (T / \ln 2)^2 [\exp(\frac{T_e \ln 2}{T}) - 1] \times$$

$$dN_{\Sigma}^{(A2)} = [N_{\Sigma}(n)]^2 (\sigma / T_e) P T_c \sum_1^k (\exp[-(a_1 - T_e - T_n) \ln 2 / T]) dn, \quad (11)$$

де T_c – пропускання зразка 2;

$$dN_{\Sigma}^{(A3)} = [N_{\Sigma}(n)]^2 (\sigma / T_e) P (1 / T_c) \sum_1^k (\exp[-(a_1 + T_e + T_n) \ln 2 / T]) dn, \quad (12)$$

$$dN_{\Sigma}^{(A4)} = [N_{\Sigma}(n)]^2 (\sigma / T_e) P \sum_1^k (\exp[-a_1 \ln 2 / T]) dn, \quad (13)$$

у співвідношеннях (12) і (13) $N_{\Sigma}(n)$ – потік послідовності 2, 1.

Отже, співвідношення (10 - 13) визначають кількість взаємодій нейtronів у циклі $(k+1)$ у послідовностях 1, 2 та 2, 1 за час експозиції T_e у прошарку товщиною dn після проходження нейtronами товщини зразка n із збудженими ядрами, утвореними у всіх попередніх циклах (від 1 до k) і довших до циклу $(k+1)$. Аналогічним способом визначається кількість $dN_{\Sigma}^{(A5)}$ взаємодій нейtronів у циклі $(k+1)$ у послідовності 1, 2 із збудженими станами, утвореними у цій же послідовності 1, 2 циклу $(k+1)$, кількість $dN_{\Sigma}^{(A6)}$ взаємодій нейtronів у циклі $(k+1)$ у послідовності 2, 1 із збудженими станами, утвореними у цій же

Повна кількість взаємодій $dN_{\Sigma}^{(A1)}$ нейtronів у циклі $(k+1)$ у послідовності 1, 2 із збудженими ядрами, утвореними в послідовності 1, 2 попередніх k циклах, визначається сумуванням величини $dN_{\Sigma}^{(a1)}$ по k :

$$dN_{\Sigma}^{(A1)} = \sum_1^k dN_{\Sigma}^{(a1)} = [N_{\Sigma}(n)]^2 P d n \sum_1^k \exp(-a_1 \ln 2 / T). \quad (10)$$

Аналогічно одержуємо кількість взаємодій $dN_{\Sigma}^{(A2)}$ нейtronів у циклі $(k+1)$ у послідовності 1, 2 із збудженими ядрами, утвореними у всіх послідовності 2, 1 попередніх k циклах, кількість взаємодій $dN_{\Sigma}^{(A3)}$ нейtronів у циклі $(k+1)$ у послідовності 2, 1 із збудженими станами, утвореними у всіх послідовності 1, 2 попередніх k циклах, і кількість взаємодій $dN_{\Sigma}^{(A4)}$ нейtronів у циклі $(k+1)$ у послідовності 2, 1 із збудженими станами, утвореними у всіх послідовності 2, 1 попередніх k циклах:

$$dN_{\Sigma}^{(A2)} = [N_{\Sigma}(n)]^2 (\sigma / T_e) P T_c \sum_1^k (\exp[-(a_1 - T_e - T_n) \ln 2 / T]) dn, \quad (11)$$

послідовності 2, 1 цього ж циклу $(k+1)$ і кількість взаємодій $dN_{\Sigma}^{(A7)}$ нейtronів у циклі $(k+1)$ у послідовності 2, 1 із збудженими станами, утвореними у цьому ж циклі $(k+1)$, але в послідовності 1, 2 і довшими до часу послідовності 2, 1:

$$\begin{aligned} dN_{\Sigma}^{(A5)} &= [N_{\Sigma}(n) / T_e]^2 \sigma \sigma' \psi (T / \ln 2) \times \\ &\times [T_e - (T / \ln 2)(1 - \exp(-\frac{T_e \ln 2}{T}))] dn, \end{aligned} \quad (14)$$

де $N_{\Sigma}(n)$ – потік послідовності 1, 2;

$$\begin{aligned} dN_{\Sigma}^{(A6)} &= [N_{\Sigma}(n) / T_e]^2 \sigma \sigma' \psi (T / \ln 2) \times \\ &\times [T_e - (T / \ln 2)(1 - \exp(-\frac{T_e \ln 2}{T}))] dn; \end{aligned} \quad (15)$$

$$dN_{\Sigma}^{(A7)} = [N_{\Sigma}(n) / T_e]^2 (1 / T_c) \sigma \sigma' \psi(T / \ln 2)^2 \times \\ \times \exp\left(-\frac{T_n \ln 2}{T}\right) \cdot [1 - \exp(-T_e \ln 2 / T)]^2 dn. \quad (16)$$

У співвідношеннях (15) та (16) $N_{\Sigma}(n)$ – потік послідовності 2, 1.

Запишемо повне послаблення $dN_{\Sigma}^{(1,2)}$ нейтронного потоку послідовності 1, 2 циклу ($k+1$) за час T_e у прошарку товщиною dn після проход-

ження нейtronами товщини n зразка 1 у резульtatі взаємодії нейtronів як із вихідними ядрами зразка 1, так і збудженими:

$$dN_{\Sigma}^{(1,2)} = -N_{\Sigma}(n) \sigma dn - dN_{\Sigma}^{(A5)} - dN_{\Sigma}^{(A1)} - dN_{\Sigma}^{(A2)}. \quad (17)$$

Використовуючи співвідношення (10), (11) та (14), отримуємо

$$dN_{\Sigma}^{(1,2)} = -N_{\Sigma}(n) \sigma dn [1 + N_{\Sigma}(n) Z_1 / T_e], \quad (18)$$

де

$$Z_1 = (1 / T_e) \sigma' \psi(T / \ln 2) [T_e - (T / \ln 2)(1 - \exp(1 - T_e \ln 2 / T))] + \\ + P \sum_1^k \exp(-a_1 \ln 2 / T) + PT_c \sum_1^k \exp[-(a_1 - T_e - T_n) \ln 2 / T]. \quad (19)$$

Розв'язком рівняння (18) є кількість $dN_{\Sigma}^{(1,2)}$ нейtronів, які прийшли через зразок 1 товщиною n_1 :

$$dN_{\Sigma}^{(1,2)} = -N_{0\Sigma} [\exp(-n_1 \sigma)] / (1 + a_{\Sigma} Z_1 / T_e), \quad (20)$$

де

$$a_{\Sigma} = N_{0\Sigma} [1 - \exp(-n_1 \sigma)], \quad (21)$$

а $N_{0\Sigma}$ – потік, який падає на зразок 1 послідовності 1, 2 за час T_e . Як видно, закон пропускання нейtronів відрізняється від експоненціального

внаслідок розглянутих вище нелінійних ефектів.

Послаблення нейtronного потоку зразком 1 послідовності 2, 1 у прошарку товщиною dn після проходження нейtronами товщини зразка 1 записується як

$$dN_{\Sigma}^{(2,1)} = -N_{\Sigma}(n) \sigma dn - dN_{\Sigma}^{(A6)} - dN_{\Sigma}^{(A7)} - dN_{\Sigma}^{(A3)} - dN_{\Sigma}^{(A4)}. \quad (22)$$

Використовуючи співвідношення (12), (13), (15) та (16), отримуємо

$$dN_{\Sigma}^{(2,1)} = -N_{\Sigma}(n) \sigma dn [1 + N_{\Sigma}(n) Y_1 / T_e], \quad (23)$$

де

$$Y_1 = (1 / T_e) \sigma' \psi(T / \ln 2) \cdot [T_e - (T / \ln 2) \cdot (1 - \exp(-T_e \ln 2 / T))] + \\ + (1 / T_e) \sigma' \psi(1 / T_c) \cdot (T / \ln 2)^2 \cdot \exp(-T_n \ln 2 / T) \cdot [1 - \exp(-\frac{T_e \ln 2}{T})]^2 + \\ + P(1 / T_c) \cdot \sum_1^k \exp[-(a_1 + T_e + T_n) \cdot \ln 2 / T] + P_0 \sum_1^k \exp[-a_1 \ln 2 / T]. \quad (24)$$

Розв'язком рівняння (23) є кількість $dN_{\Sigma}^{(2,1)}$ нейtronів, які пройшли через зразок 1 товщиною n_1 послідовності 2, 1:

$$N_{\Sigma}^{(2,1)} = N_{0\Sigma}^1 \exp(-n_1 \sigma) / (1 + Y_1 \alpha_{\Sigma}^1 / T_e), \quad (25)$$

де

$$\alpha_{\Sigma}^1 = N_{0\Sigma}^1 [1 - \exp(-n_1 \sigma)], \quad N_{0\Sigma}^1 = N_{0\Sigma} T_c. \quad (26)$$

Використовуючи співвідношення (20), (21), (25) та (26), згідно з визначенням АП (1), отримаємо вираз для q , припускаючи малими другі доданки в знаменниках співвідношень (20) та (25):

$$q = N_{0\Sigma} [1 - \exp(-n_1 \sigma)] [Y_1 T_c - Z_1] / T_e = \alpha [Y_1 T_c - Z_1], \quad (27)$$

де

$$\alpha = N_0 [1 - \exp(-n_1 \sigma)]. \quad (28)$$

Суми експоненціальних рядів, що входять у Y_1 і Z_1 , можна записати таким чином:

$$\sum_1^k \exp(-a_1 \ln 2 / T) = \sum_1^k \exp(-kc), \\ \sum_1^k \exp[-(a_1 - T_e - T_n) \ln 2 / T] = \\ = \sum_1^k \exp(-kc) \exp[(T_e + T_n) \ln 2 / T], \\ \sum_1^k \exp[-(a_1 + T_e + T_n) \ln 2 / T] =$$

$$= \sum_1^k \exp(-kc) \exp[-(T_e + T_n) \ln 2 / T], \quad (29)$$

де $c = [(2T_e + T_n + T_l)] \ln 2$.

Сума k членів ряду дорівнює

$$S_k = \exp(-c)[1 - \exp(-ck)]/[1 - \exp(-c)] \quad (30)$$

і при $k \gg 1$

$$S_k = \exp(-c)/[1 - \exp(-c)]. \quad (31)$$

Виносячи у виразі для q загальний множник, отримуємо

$$q = \theta(YT_c - Z) = \theta q', \quad (32)$$

де

$$\theta = \infty \sigma' \psi(1/\ln 2), \quad Y = Y_1/\theta, \quad Z = Z_1/\theta, \quad (33)$$

а величини Z_1 та Y_1 визначають із формул (19) і (24).

Розрахунки

Отримане співвідношення (32) для q складається з двох множників. Перший містить N_0 у

зразку 1 і невідомі характеристики збудженого стану σ' і ψ , другий містить тільки часові характеристики експерименту (T_e , T_n і T_l) та шукану величину – час життя T цього стану. Унаслідок такого сприятливого розділення невідомих характеристик збуджених станів і характеристик експерименту та шуканої величини T значно спрощується визначення останньої. Із співвідношення видно, що для визначення T достатньо виміряти величину q , зокрема при двох наборах експериментальних характеристик. У табл. 1 наведено результати розрахунків величини q в одиницях θ (тобто величина q') для різних значень часу експозиції T_e і ряду наборів характеристик T_n і T_l у широкому діапазоні значень шуканої величини T . На рис. 2 частина розрахунків представлена також у графічному вигляді. Номер варіанта розрахунку і відповідної кривої наведено у крайній правій колонці табл. 1. Багато варіантів розрахунку зображені однією і тією ж кривою на рис. 2 (і, відповідно, мають один і той же номер у табл. 1) унаслідок незначної відмінності числових значень розрахунку. Наприклад, крива під номером 18 відображає 9 варіантів розрахунку.

Таблиця 1. Розрахункові значення q' при різних значеннях характеристик T_e , T_n і T_l і часу T життя.

Номери варіантів розрахунків і відповідної кривої на рис. 2 вказані відповідно у двох правих колонках

T	T_e	$T_n = 20$										N_1	N_2
		3	5	10	30	50	100	300	1000				
1	20	-0,42	-0,52	-0,62	-0,69	-0,70	-0,72	-0,72	-0,72	1	16		
3	20	-0,60	-0,88	-1,32	-1,86	-1,99	-2,08	-2,15	-2,17	2	18		
	100	-0,60	-0,87	-1,32	-1,86	-1,99	-2,08	-2,15	-2,17	3	18		
	200	-0,60	-0,87	-1,32	-1,86	-1,99	-2,08	-2,15	-2,17	4	18		
	1000	-0,60	-0,88	-1,32	-1,86	-1,99	-2,08	-2,15	-2,17	5	18		
	20	-0,60	-0,93	-1,58	-2,72	-3,07	-3,35	-3,54	-3,60	6	19		
5	100	-0,57	-0,90	-1,54	-2,70	-3,06	-3,35	-3,54	-3,60	7	19		
	200	-0,57	-0,90	-1,54	-2,70	-3,06	-3,35	-3,54	-3,60	8	19		
	1000	-0,57	-0,90	-1,54	-2,70	-3,06	-3,35	-3,54	-3,60	9	19		
	20	-0,45	-0,74	-1,44	-3,36	-4,74	-5,95	-6,82	-7,13	10	17		
10	100	-0,28	-0,51	-1,12	-3,29	-4,55	-5,85	-6,79	-7,12	11	14		
	200	-0,28	-0,51	-1,12	-3,29	-4,55	-5,85	-6,79	-7,12	12	14		
	1000	-0,28	-0,51	-1,12	-3,29	-4,55	-5,85	-6,79	-7,12	13	14		
	20	-0,18	-0,31	-0,65	-2,31	-4,21	-8,75	-16,70	-20,20	14	13		
30	100	+0,41	+0,62	+0,93	+0,31	-1,65	-6,98	-16,04	-20,10	15			
	200	+0,48	+0,73	+1,13	+0,70	-1,23	-6,68	-15,93	-20,02	16	6		
	1000	+0,49	+0,74	+1,15	+0,75	-1,19	-6,65	-15,92	-20,02	17	6		
	20	-0,11	-0,19	-0,40	-1,50	-2,92	-7,28	-21,40	-31,70	18	12		
50	100	+0,60	+0,94	+1,62	+2,48	+1,63	-3,21	-19,70	-31,20	19			
	200	+0,73	+1,16	+2,05	+3,60	+3,09	-1,76	-19,10	-31,01	20			
	1000	+0,77	+1,22	+2,18	+3,95	+3,55	-1,29	-18,88	-30,95	21	3		
	20	-0,05	-0,09	-0,20	-0,78	-1,56	-4,35	-21,10	-53,00	22	11		
100	100	+0,73	+1,17	+2,11	+4,29	+4,89	+3,06	-16,32	-51,58	23			
	200	+0,92	+1,49	+2,77	+6,28	+7,93	+7,35	-13,15	-50,74	24			
	1000	+1,02	+1,67	+3,17	+7,70	+10,30	+11,15	-10,01	-49,61	25	2		

Продовження табл. 1

300	20	-0,02	-0,03	-0,07	-0,26	-0,53	-1,54	-9,92	-66,20	26	9
	100	+0,81	+1,30	+2,40	+5,40	+7,06	+8,46	+1,02	-60,40	27	
	200	+1,02	+1,66	+3,16	+7,90	+11,15	+15,43	+11,12	-54,57	28	
	1000	+1,20	+1,99	+3,91	+10,89	+16,85	+27,98	+38,31	-35,78	29	1
$T_n = 50$											
3	100	-0,61	-0,89	-1,33	-1,86	-1,99	-2,08	-2,15	-2,17	30	18
	200	-0,61	-0,89	-1,33	-1,86	-1,99	-2,08	-2,15	-2,17	31	18
5	100	-0,66	-1,01	-1,66	-2,77	-3,11	-3,37	-3,54	-3,60	32	19
	200	-0,66	-1,01	-1,66	-2,77	-3,11	-3,37	-3,54	-3,60	33	19
10	100	-0,65	-1,05	-1,91	-4,09	-5,15	-6,17	-6,90	-7,15	34	20
	200	-0,65	-1,05	-1,91	-4,09	-5,15	-6,17	-6,90	-7,15	35	20
30	100	-0,21	-0,36	-0,81	-3,05	-5,43	-10,28	-17,40	-20,46	36	
	200	-0,13	-0,25	-0,61	-2,70	-5,07	-10,00	-17,29	-20,43	37	
50	100	-0,03	+0,03	-0,05	-1,13	-2,93	-8,30	-22,70	-32,10	38	
	200	+0,20	+0,31	+0,46	00,00	-1,55	-6,69	-22,09	-31,94	39	8
100	100	+0,23	+0,37	+0,63	+0,94	+0,44	-2,75	-22,10	-53,93	40	
	200	+0,51	+0,82	+1,51	+3,20	+3,63	+1,45	-19,07	-52,94	41	5
300	100	+0,36	+0,59	+1,08	+2,44	+3,11	+3,17	-5,92	-66,84	42	
	200	-0,67	-1,14	+2,18	+5,46	+7,69	+10,43	+4,07	-61,07	43	4
$T_n = 100$											
3	100	-0,61	-0,89	-1,33	-1,86	-1,99	-2,08	-2,15	-2,17	44	18
	200	-0,61	-0,89	-1,33	-1,86	-1,99	-2,08	-2,15	-2,17	45	18
	1000	-0,61	-0,89	-1,33	-1,86	-1,99	-2,08	-2,15	-2,17	46	18
5	100	-0,66	-1,01	-1,67	-2,77	-3,11	-3,37	-3,54	-3,60	47	19
	200	-0,66	-1,01	-1,67	-2,77	-3,11	-3,37	-3,54	-3,60	48	19
	1000	-0,66	-1,01	-1,67	-2,77	-3,11	-3,37	-3,54	-3,60	49	19
10	100	-0,70	-1,12	-2,02	-4,20	-5,23	-6,21	-6,91	-7,16	50	20
	200	-0,70	-1,12	-2,02	-4,20	-5,23	-6,21	-6,91	-7,16	51	20
	1000	-0,70	-1,12	-2,02	-4,20	-5,23	-6,21	-6,91	-7,16	52	20
30	100	-0,61	-1,01	-1,96	-5,33	-8,01	-12,54	-18,33	-20,74	53	
	200	-0,55	-0,91	-1,80	-5,03	-7,69	-12,27	-18,22	-20,71	54	
	1000	-0,55	-0,90	-1,79	-5,00	-7,66	-12,24	-18,21	-20,71	55	
50	100	-0,45	-0,75	-1,50	-4,43	-7,21	-13,20	-25,60	-30,03	56	
	200	-0,30	-0,50	-1,04	-3,44	-6,00	-11,99	-25,00	-32,84	57	15
	1000	-0,25	-0,42	-0,89	-3,12	-5,61	-11,59	-24,80	-32,78	58	15
100	100	-0,25	-0,42	-0,86	-2,68	-4,61	-9,76	-29,47	-56,91	59	
	200	-0,04	+0,06	+0,06	-0,44	-1,55	-5,85	-26,55	-55,92	60	10
	1000	+0,27	+0,43	+0,77	+1,42	+1,12	-2,21	-23,65	-54,94	61	7
300	100	-0,09	-0,15	-0,30	-0,95	-1,68	-3,80	-16,06	-76,61	62	
	200	-0,31	-0,50	-0,96	-2,33	-3,15	-3,53	-6,33	-70,94	63	
	1000	+0,84	+1,38	+2,71	+7,48	+11,48	+18,60	+20,76	-52,66	64	

Як видно із результатів розрахунку, зміна величини q має різноманітний характер. У випадку $T > T_e$ величина q має додатні значення, зростає, починаючи з малих значень T_e , досягає максимуму і потім зменшується, переходячи в область від'ємних значень. Положення максимуму зміщується в область менших значень T_e при зменшенні величини T .

При подальшому зменшенні T , коли T стає

рівним T_e та менше нього, по ходу q не спостерігається максимуму, q лежить в області від'ємних значень, характер змінювання q із зміною T_e стає плавним та все більш слабким по мірі зменшення співвідношення T/T_e , і криві виходять на плато. Таким чином, характер змінювання q залежно від часових характеристик і часу життя має особливості та є сприятливим для експериментального визначення T . Оскільки q

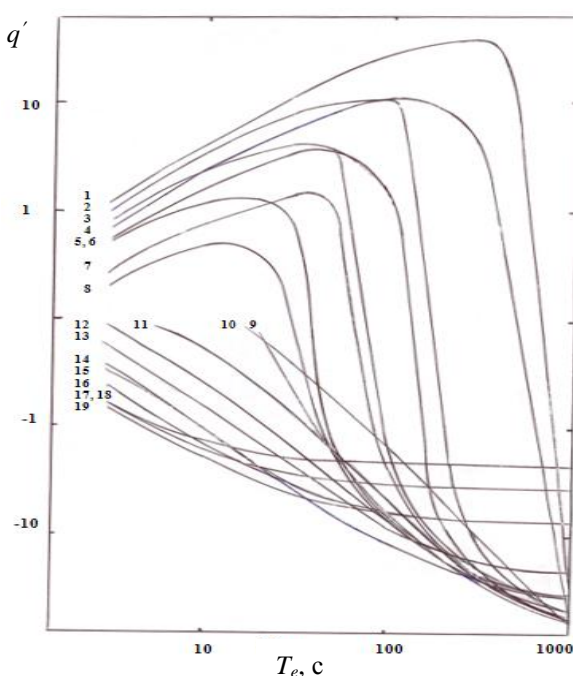


Рис. 2. Залежність асиметрії пропускання від часу експозиції T_e для ряду значень часу T (числа на кривих указують варіант розрахунку – див. табл. 1).

залежить від багатьох параметрів, доволі складно, не маючи оцінюючих значень T , оптимізувати значення експериментального набору величин T_e , T_n та T_l . Тому бажано проводити вимірювання q у широкому діапазоні значень указаних характеристик.

На першому етапі вимірювань мінімально можливі значення T_n і T_l були вибрані рівними 20 с, щоб максимально використати можливий час як «чистий» час вимірювань і виходячи із досягненням максимальної часової стабільності вимірювань. Як виявилось, проведення вимірювань із таким набором значень T_n і T_l є достатнім для визначення T і немає потреби збільшувати їхні значення.

Експериментальна установка

Джерелом нейtronів був стаціонарний дослідницький реактор ВВР-М ІЯД НАН України. Такий реактор є придатним для розглядуваних досліджень, так як унаслідок малості шуканого ефекту від джерела вимагаються умови високої часової стабільності та інтенсивності.

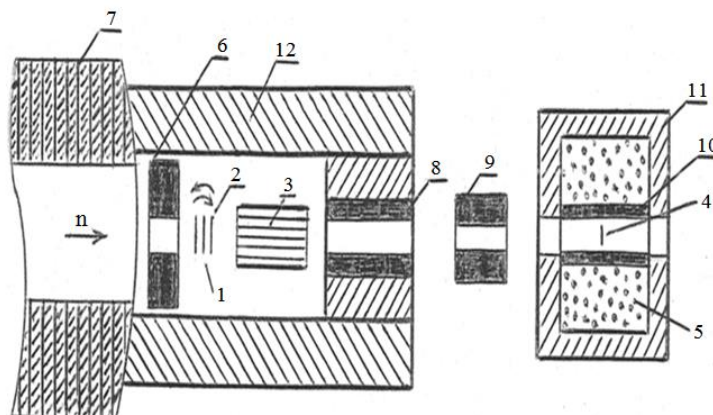


Рис. 3. Експериментальна установка: 1 – нерухомі досліджувані два зразки; 2 – досліджувані два зразки, що переміщуються; 3 – кремнієвий фільтр; 4 – мішень детектора (кеадмій); 5 – сцинтиляційний NaJ(Tl) багатосекційний 4π-детектор; 6, 8, 9 – коліматори; 7 – біологічний захист реактора; 10 – захист ${}^6\text{LiH}$; 11 – зовнішній захист детектора (свинець, «нейtron-стоп»); 12 – захист бункера.

Досліджувані зразки 1 і 2 (рис. 3) розміщаються на виході горизонтального каналу реактора після коліматора 6, який формує нейтронний пучок до 12 мм. Теплові нейтрони виділяються із реакторного спектра кремнієвим фільтром 3 товщиною ~ 98 см. Використання фільтра вирішує ряд проблем. По-перше, зменшує потік швидких нейтронів і гамма-променів, присутніх у пучку реактора. Швидкі нейтрони практично не дають внесок у досліджуваний ефект завдяки малому перерізу. У той же час вони (а також гамма-промені пучка) є основним джерелом фо-

ну і лічильного перевантажування детектора (при відсутності фільтра), так як від них тяжко захищати детектор. По-друге, на відміну від загальноприйнятого способу відносно розміщення фільтра і досліджуваних зразків – спочатку нейтрони фільтруються, а потімпадають на зразки, у даній роботі така черговість змінена – спочатку нейтронипадають на досліджувані зразки, а потім проходять фільтр. Це дає змогу найбільшою мірою використовувати інтенсивність теплового потоку і, відповідно, досягти найбільших значень N_0 і вимірюваної величини q . Справа в

тому, що хоч фільтр і виділяє тепловий спектр, усе ж частина теплових нейтронів вибуває з пучка, а тому при традиційному розміщенні фільтра і зразків N_0 буде меншою. По-третє, запропоноване розміщення фільтра вирішує й ще одну задачу – зменшує ймовірність попадання продуктів взаємодії нейтронів із зразками 1 і 2 у детектор та їхню реєстрацію. Реєстрація вторинних продуктів може привести до появи небажаної асиметрії при інверсії зразків, так як при зміні послідовності розташування зразків змінюється також кількісне співвідношення між видами утворюваних продуктів взаємодії та їхніх характеристик (кількість, енергія і т. п.).

Послідовність розташування зразків 1 і 2 змінюється механізмом переміщення зразка 2 (зразок 1 нерухомий). Неточність встановлення зразка 2 у послідовностях (1, 2) і (2, 1) становить $\sim 2,2 \cdot 10^{-4}$ рад. Для усунення впливу на результат вимірювань нагріву ^{235}U внаслідок поділу проводиться примусове конвертоване охолодження зразка [3].

Пучок нейтронів після проходження фільтра і зразків 1 і 2 формується коліматорами 8 і 9 до діаметра ~ 22 мм і попадає на мішень 4 (кадмій), який розміщується у центрі прохідного каналу 4π-двадцятисекційного детектора 5 на основі кристалів NaJ(Tl) об'ємом 26 л [4]. Нейтрони реєструються по поглинанню в кадмії. Кадмій вибраний унаслідок великих значень перерізу поглинання, множинності та сумарної енергії гамма-каскаду. Область виходу пучка з каналу реактора, розміщення зразків 1 і 2 та фільтра 3 оточена посиленим захистом 12 товщиною 1,5 - 2 м від нейтронного і гамма-випромінювання. Детектор захищений шаром свинцю товщиною 10 - 20 см і блоками «нейтрон-стоп» товщиною 30 см. Відстань від зразків 1 і 2 до зразка кадмію 4 у детекторі $\sim 5,8$ м, а до активної зони реактора 3,5 м, тобто виконується умова «гарної» геометрії.

Вимірювання, результати та обговорення

Вимірювалося пропускання через два зразки ^{235}U (збагачений до 90 %) і кадмію (зразки 1 та 2 відповідно). Товщини зразків дорівнюють $2,24 \cdot 10^{-3}$ та $4,63 \cdot 10^{-4}$ г/см² відповідно. Вимірювання проводились при трьох значеннях T_e : 30, 300 і 1000 с. Значення часових інтервалів T_n і T_l між послідовностями в циклі і між циклами бралися однаковими і становили 20 с. Кількість відліків у послідовностях зразків (1, 2) і (2, 1) позначимо $N_{1,2}$ та $N_{2,1}$. Вимірювання фону у таких послідовностях зразків проводилося розміщен-

ням після фільтра кремнію зразка кадмію товщиною $4,63 \cdot 10^{-3}$ г/см², який практично повністю поглиняв теплові нейтрони. Кількість відліків цих вимірювань позначимо як $N_{1,2}^\phi$ та $N_{2,1}^\phi$. У них дають внесок фон зали, космічний фон, гамма-промені та швидкі нейтрони, які пройшли фільтри кремнію і кадмію, та досліджувані зразки, а також продукти взаємодії нейтронів із досліджуваними зразками.

Оскільки положення переміщуваного зразка 2 у послідовностях (1, 2) та (2, 1) можуть бути неточними, що може привести до появи побічної АП, то проводилося вимірювання цієї (апаратурної) асиметрії. Для цього вимірювалася кількість актів поглинання нейтронів у тих же двох положеннях зразка 2, але при цьому зразок 1 знаходився на пучку за зразком 2, щоб залишалися незмінними умови вимірювань (фон, спектр реєструючих нейтронів, лічильне завантаження детектора та апаратури тощо). Відповідну кількість відліків позначимо як $N_{0,2}$ і $N_{2,0}$. Відповідно і для цього типу вимірювань проводилося вимірювання із зразком кадмію, перекриваючим пучок. Кількість відліків вимірювань фону при визначенні апаратурної асиметрії позначимо як $N_{0,2}^\phi$ та $N_{2,0}^\phi$.

За результатами розглянутих типів вимірювань вираховувалося значення АП:

$$q = (q_e - q_e^\phi) - (q_a - q_a^\phi), \quad (34)$$

де q_e – асиметрія, коли зразок 2 почергово розміщується за або перед зразком 1; q_e^ϕ – відповідна фонова асиметрія; q_a – апаратурна асиметрія та її фонова складова q_a^ϕ . Вирази, що входять у формулу (34), записуються через кількість відліків:

$$\begin{aligned} q_e - q_e^\phi &= (N_{1,2} - N_{2,1}) / 0,5[(N_{1,2} + N_{2,1}) - \\ &\quad -(N_{1,2}^\phi + N_{2,1}^\phi)] - (N_{1,2}^\phi - N_{2,1}^\phi)] / 0,5 \times \\ &\quad \times [(N_{1,2} + N_{2,1}) - (N_{1,2}^\phi + N_{2,1}^\phi)]. \end{aligned} \quad (35)$$

Різниці кількості відліків у чисельниках нормуються на середню сумарну кількість відліків $N_{1,2}$ та $N_{2,1}$ із вирахуванням із них фону. Аналогічним чином записується друга різниця у співвідношенні (34):

$$\begin{aligned} q_a - q_a^\phi &= (N_{0,2} - N_{2,0}) / 0,5[(N_{0,2} + N_{2,0}) - \\ &\quad -(N_{0,2}^\phi + N_{2,0}^\phi)] - (N_{0,2}^\phi - N_{2,0}^\phi) / 0,5 \times \\ &\quad \times [(N_{0,2} + N_{2,0}) - (N_{0,2}^\phi + N_{2,0}^\phi)]. \end{aligned} \quad (36)$$

Таблиця 2. Результати вимірювання АП та їхні складові при різних значеннях T_e і $T_n = T_l = 20$ с

T_e , с	$q_e \cdot 10^{-4}$	$q_e^\phi \cdot 10^{-4}$	$q_\alpha \cdot 10^{-4}$	$q_\alpha^\phi \cdot 10^{-4}$	$q \cdot 10^{-4}$
30	3,148(0,296)	-0,013(0,171)	6,305(0,374)	0,344(0,167)	-2,800(0,534)
100	3,770(0,192)	-0,037(0,148)	6,166(0,216)	0,180(0,123)	-2,541(0,294)
300	2,763(0,695)	-0,067(0,103)	4,833(0,760)	0,448(0,104)	-1,555(1,040)
1000	2,572(1,308)	-0,297(0,269)	7,408(2,104)	0,312(0,317)	-4,227(2,512)

Виміряні значення q для використовуваних значень T_e та їхні складові наведено в табл. 2. Для $T_e=100$ с значення q наведено в роботі [3].

Для кожного значення T_e проводилось по $m=4$ вимірювань q_m , остаточні значення q , що наведені в табл. 2, є середніми по цих чотирьох вимірюваннях:

$$q = \sum_{m=1}^4 q_m / 4, \quad (37)$$

а похибка цієї величини визначалася як

$$\Delta q = \sum_{m=1}^4 (q - q_m) / 4. \quad (38)$$

При великих значеннях T_e похибка величини q збільшується, що очевидно пов'язано з погрішням стабільності S вимірювань із часом.

Стабільність S оцінювалась по відносній зміні сумарною кількістю відліків $\sum(N_{1,2} + N_{2,1})$ детектора в обох послідовностях зразків пари за достатньо великі інтервали T_1 та T_2 часу вимірювань (після набору достатньої статистики). Різниця вказаних сум за T_1 та T_2 наводилася до часу експозиції T_e (T_1 та T_2 бралися однаковими, рівними T_e). Тоді S має вигляд

$$S = \left[\sum_{T_2} (N_{1,2} + N_{2,1}) - \sum_{T_1} (N_{1,2} + N_{2,1}) \right] \cdot (T_e / T_c) / 0,5 \times$$

$$\times \left[\sum_{T_2} (N_{1,2} + N_{2,1}) + \sum_{T_1} (N_{1,2} + N_{2,1}) \right]. \quad (39)$$

Наприклад, для часу вимірювань $T_e = 100$ с значення S лежить у межах $(0,09 \pm 0,2) \cdot 10^{-4}$, у той же час як для $T_e = 300$ с значення S погіршується і становить $(0,55 \pm 0,75) \cdot 10^{-4}$.

Визначення часу життя T проводилось шляхом вибору розрахункової кривої, яка найкращим чином описує наведені в табл. 2 експериментальні значення q . Для проведення співставлення експериментальних та розрахункових значень розрахункові криві q' та експериментальні значення q_i для чотирьох $i = 4$ значень часів T_e експозиції, при яких проводилися вимірювання, нормувалися на сумарні значення $\sum_{i=1}^4 |q_i'|$ та

$\sum_{i=1}^4 |q_i|$ відповідно:

$$q_i'' = q_i / \sum_{i=1}^4 |q_i|, \quad (q_i')'' = q_i' / \sum_{i=1}^4 |q_i'|. \quad (40)$$

Нормовані розрахункові значення $(q_i')''$ для значень T від 3 до 300 с наведено в табл. 3. Там же наведено нормовані значення q_i'' вимірюваних значень.

Таблиця 3. Нормовані розрахункові $(-q_i')''$ та експериментальні $(-q_i)''$ значення, їхня різниця R ; $T_n = T_l = 20$ с

Номер варіанта	T , с	i	1	2	3	4	R
		T_e , с	30	100	300	1000	
1	1		0,242	0,253	0,253	0,253	2,76
2	3		0,225	0,252	0,260	0,263	3,10
6	5		0,206	0,254	0,268	0,273	4,04
10	10		0,144	0,256	0,293	0,307	9,04
14	30		0,048	0,182	0,348	0,421	26,25
18	50		0,024	0,118	0,346	0,512	45,75
22	100		0,010	0,055	0,266	0,669	73,30
26	300		0,003	0,020	0,127	0,850	95,30
q_i''			0,252	0,228	0,140	0,380	

У цій же таблиці наведено значення величини R для кожного варіанта розрахунку, яка характеризує ступінь відмінності розрахункової та експериментальної залежностей

$$R = \sum_{i=1}^4 \left[q_i^u - (q_i')^u \right]^2 / \left(\sigma_i^u \right)^2, \quad \sigma_i^u = \sigma_i / \sum_{i=1}^4 |q_i^u|, \quad (41)$$

де σ_i – експериментальна похибка величини q_i (див. табл. 2). Порівняння розрахункових кривих $(q_i')^u$ з експериментальними значеннями q_i^u показує, що починаючи із значення $T \sim 5$ с і менше їхня відмінність практично непомітна (відповідні значення R практично збігаються). Використовуючи χ^2 -критерій узгодження [5] і значення R визначаємо, що з достатньо великою ймовірністю відхилення розрахункових кривих, відповідних значенням $T \lesssim 5$ с, від експериментальної залежності можна вважати випадковими.

Для уточнення переходу від одержаного результату ($T \lesssim 5$ с) необхідно розширити діапазон вимірювань у бік менших значень T_e , однак це є ускладненням, оскільки при цьому основний час буде витрачатися на зміну послідовностей (часи T_n і T_l), тобто скорочується «чистий» вимірювальний час T_e . У результаті для набору тієї ж статистичної точності необхідне суттєве збільшення часу вимірювань, що виявляється нереальним. Наприклад, при мінімально використовуваному в даних вимірюваннях значенні $T_e = 30$ с повний час вимірювань (усіх чотирьох

типов вимірювань q_e, q_e^ϕ, q_a і q_a^ϕ) становив близько трьох місяців.

У роботі [3] були визначені характеристики метастабільного стану урану, збудженого уламками поділу, використовуючи співвідношення для часу життя T метастабільних ядерних станів, перерізу σ_k кулонівського збудження та величини АП, а також експериментальне значення q . У результаті проведеної в даній роботі оцінки величини T $T \lesssim 5$ с стає можливою більш однозначна оцінка зведеній ймовірності $B(E1)\downarrow$ гамма-переходу – використовуючи ті ж співвідношення, що перераховані вище, і отриману оцінку величини $T \lesssim 5$ с, знаходимо, що наведене значення $B\downarrow$ зведеній ймовірності $E1$ -переходу перевищує відповідне одночастинкове значення $B_{s.p.}(E1)\downarrow$ у $1,4 \cdot 10^3$ раза. Відзначимо, що одночастинкові оцінки у багатьох випадках значно відрізняються від експериментальних значень [6, 7]. Для $E2$ -переходів розходження експериментальних й оціночних значень наведених імовірностей переходів $B(E2)\downarrow$ становить декілька порядків, для $E1$ -переходів воно ще значніше.

Виходячи із результатів даної роботи, можна зробити висновок, що серед припущень, зроблених у попередніх дослідженнях [1 - 3] для пояснення спостережуваної залежності нейtronного перерізу від густини потоку нейtronів N_0 , щопадають на зразок ^{235}U , підтверджується як найбільш імовірна гіпотеза утворення метастабільних станів ^{235}U , які збуджуються уламками поділу.

СПИСОК ВИКОРИСТАНОЇ ЛІТЕРАТУРИ

1. Yu.G. Shchepkin, E.A. Pavlenko. Asymmetry of neutrons transmission. IV Intern. Seminar on Interaction of Neutron with Nuclei: “Neutron Spectroscopy, Nuclear Structure, Related topics” (Dubna, 1996) p. 251.
2. Ю.Г. Щепкін и др. Взаимодействие нейтронов с веществом при высокой плотности взаимодействий. Часть I. Сечение взаимодействия нейтронов с веществом при высокой плотности взаимодействий. Ядерна фізика та енергетика 13(1) (2012) 22.
3. Ю.Г. Щепкін и др. Взаимодействие нейтронов с веществом при высокой плотности взаимодействий. Часть II. Экспериментальное исследование зависимости нейтронного сечения от плот-
- ности взаимодействий. Ядерна фізика та енергетика 13(1) (2012) 28.
4. Ю.Г. Щепкін, В.І. Слісенко, В.Н. Шевель. Методика прямого измерения сечения захвата нейтронов радиоактивными ядрами. Ядерна фізика та енергетика 11(3) (2010) 302.
5. Е.С. Вентцель. Теория вероятностей (М.: Наука, 1964).
6. K. Alder et al. Study of Nuclear Structure by Electromagnetic Excitation with Accelerated Ion. Rev. Mod. Phys. 28(4) (1956) 432.
7. H. Ikegami, T. Udagawa. Structure of ^{120}Sn and Effect of the Pairing Correlation on the Reduction of E2 Transition in ^{118}Sn and ^{120}Sn . Phys. Rev. 124(5) (1961) 1518.

Ю. Г. Щепкін, В. І. Слісенко, Н. І. Мазіна*, Т. А. Костюк

Інститут ядерних исследований НАН України, Київ, Україна

*Ответственный автор: nadin_v@kinr.kiev.ua

**ИССЛЕДОВАНИЕ ВЗАЙМОДЕЙСТВИЙ НЕЙТРОНОВ С ВЕЩЕСТВОМ
ПРИ ВЫСОКИХ НЕЙТРОННЫХ ПОТОКАХ.**

ЧАСТЬ III. ИССЛЕДОВАНИЕ ВРЕМЕННОЙ ЗАВИСИМОСТИ ПРОПУСКАНИЯ НЕЙТРОНОВ

Проведены измерения пропускания нейтронов через два образца ^{235}U , кадмия, которые находятся одновременно на нейтронном пучке, при разной последовательности их расположения при различных временах экспозиции образцов на пучке. Подтверждено ранее наблюдаемое различие указанного пропускания нейтронов – асимметрия пропускания. Цель измерений – определение времени жизни предполагаемых метастабильных состояний, введенных для объяснения наблюдаемой асимметрии пропускания. На основе результатов измерений асимметрии пропускания установлено, что оно менее 5 с.

Ключевые слова: нейtron, сечение, время жизни, плотность потока нейтронов, асимметрия пропускания, приведенная вероятность перехода, метастабильное состояние.

Yu. G. Shchepkin, V. I. Slisenko, N. I. Mazina*, T. O. Kostyuk

Institute for Nuclear Research, National Academy of Sciences of Ukraine, Kyiv, Ukraine

*Corresponding author: nadin_v@kinr.kiev.ua

**RESEARCH OF NEUTRON INTERACTION WITH MATTER
UNDER HIGH NEUTRON FLUX.**

PART III. RESEARCH OF NEUTRONS TRANSMISSION TIME DEPENDENCE

Measurements of the transmission of neutrons through two samples of ^{235}U and Cd, which are simultaneously on neutron beam, with different sequence of their location for different exposure times of the samples on the beam, are performed. Previously observed difference in these transmissions is confirmed – asymmetry of transmission. The purpose of the measurements is to determine the lifetime of the expected metastable states, to explain the observed asymmetry of transmission. Based on the results of asymmetry of transmission measurements, it was found that it is less than 5 s.

Keywords: neutron, cross section, lifetime, neutron flux density, asymmetry of transmission, reduced transition probability, metastable state.

REFERENCES

1. Yu.G. Shchepkin, E.A. Pavlenko. Asymmetry of neutrons transmission. IV Intern. Seminar on Interaction of Neutron with Nuclei: "Neutron Spectroscopy, Nuclear Structure, Related topics" (Dubna, 1996) p. 251.
2. Yu.G. Shchepkin et al. Research of neutron interaction with matter under high density interaction. Part I. Cross section of the neutron interaction with matter under high density interaction. *Yaderna Fizyka ta Energetyka (Nucl. Phys. At. Energy)* 13(1) (2012) 22. (Rus)
3. Yu.G. Shchepkin et al. Research of neutron interaction with matter under high density interaction. Part II. The experimental research dependence of neutron cross section from density interactions. *Yaderna Fizyka ta Energetyka (Nucl. Phys. At. Energy)* 13(1) (2012) 28. (Rus)
4. Yu.G. Shchepkin, V.I. Slisenko, V.N. Shevel. Method of direct measurement of the capture neutron cross section for radioactive nuclei. *Yaderna Fizyka ta Energetyka (Nucl. Phys. At. Energy)* 11(3) (2010) 302. (Rus)
5. E.S. Ventsel. *Probability Theory* (Moskva: Nauka, 1964). (Rus)
6. K. Alder et al. Study of Nuclear Structure by Electromagnetic Excitation with Accelerated Ion. *Rev. Mod. Phys.* 28(4) (1956) 432.
7. H. Ikegami, T. Udagawa. Structure of Sn^{120} and Effect of the Pairing Correlation on the Reduction of E2 Transition in Sn^{118} and Sn^{120} . *Phys. Rev.* 124(5) (1961) 1518.

Надійшла 25.09.2017
Received 25.09.2017